

Starkniederschlagshöhen und -spenden gemäß KOSTRA-DWD-2020

Rasterfeld 215142

(Zeile 215, Spalte 142)

Regenspende und Bemessungsniederschlagswerte in Abhängigkeit von Wiederkehrzeit T und Dauerstufe D

| Dauerstufe D | | Wiederkehrzeit T | | | | | | | | | | | | | | | | | |
|--------------|-----|------------------|------------|-------|------------|-------|------------|-------|------------|-------|------------|-------|------------|-------|------------|-------|------------|-------|------------|
| | | 1 a | | 2 a | | 3 a | | 5 a | | 10 a | | 20 a | | 30 a | | 50 a | | 100 a | |
| min | Std | mm | l / (s ha) | mm | l / (s ha) | mm | l / (s ha) | mm | l / (s ha) | mm | l / (s ha) | mm | l / (s ha) | mm | l / (s ha) | mm | l / (s ha) | mm | l / (s ha) |
| 5 | | 6,6 | 220,0 | 7,9 | 263,3 | 8,7 | 290,0 | 9,7 | 323,3 | 11,2 | 373,3 | 12,8 | 426,7 | 13,8 | 460,0 | 15,1 | 503,3 | 17,0 | 566,7 |
| 10 | | 9,0 | 150,0 | 10,8 | 180,0 | 11,9 | 198,3 | 13,3 | 221,7 | 15,4 | 256,7 | 17,5 | 291,7 | 18,9 | 315,0 | 20,7 | 345,0 | 23,3 | 388,3 |
| 15 | | 10,7 | 118,9 | 12,8 | 142,2 | 14,1 | 156,7 | 15,8 | 175,6 | 18,2 | 202,2 | 20,7 | 230,0 | 22,4 | 248,9 | 24,5 | 272,2 | 27,6 | 306,7 |
| 20 | | 12,1 | 100,8 | 14,4 | 120,0 | 15,8 | 131,7 | 17,7 | 147,5 | 20,5 | 170,8 | 23,3 | 194,2 | 25,2 | 210,0 | 27,6 | 230,0 | 31,1 | 259,2 |
| 30 | | 14,2 | 78,9 | 16,9 | 93,9 | 18,6 | 103,3 | 20,8 | 115,6 | 24,1 | 133,9 | 27,4 | 152,2 | 29,6 | 164,4 | 32,4 | 180,0 | 36,5 | 202,8 |
| 45 | | 16,6 | 61,5 | 19,8 | 73,3 | 21,8 | 80,7 | 24,4 | 90,4 | 28,2 | 104,4 | 32,1 | 118,9 | 34,6 | 128,1 | 38,0 | 140,7 | 42,7 | 158,1 |
| 60 | 1 | 18,5 | 51,4 | 22,1 | 61,4 | 24,4 | 67,8 | 27,3 | 75,8 | 31,5 | 87,5 | 35,8 | 99,4 | 38,7 | 107,5 | 42,4 | 117,8 | 47,8 | 132,8 |
| 90 | 1,5 | 21,6 | 40,0 | 25,8 | 47,8 | 28,4 | 52,6 | 31,8 | 58,9 | 36,8 | 68,1 | 41,8 | 77,4 | 45,2 | 83,7 | 49,5 | 91,7 | 55,7 | 103,1 |
| 120 | 2 | 24,1 | 33,5 | 28,8 | 40,0 | 31,7 | 44,0 | 35,5 | 49,3 | 41,0 | 56,9 | 46,7 | 64,9 | 50,4 | 70,0 | 55,2 | 76,7 | 62,2 | 86,4 |
| 180 | 3 | 28,1 | 26,0 | 33,6 | 31,1 | 37,0 | 34,3 | 41,4 | 38,3 | 47,8 | 44,3 | 54,4 | 50,4 | 58,7 | 54,4 | 64,4 | 59,6 | 72,5 | 67,1 |
| 240 | 4 | 31,3 | 21,7 | 37,4 | 26,0 | 41,2 | 28,6 | 46,1 | 32,0 | 53,3 | 37,0 | 60,6 | 42,1 | 65,4 | 45,4 | 71,7 | 49,8 | 80,7 | 56,0 |
| 360 | 6 | 36,5 | 16,9 | 43,6 | 20,2 | 48,0 | 22,2 | 53,7 | 24,9 | 62,0 | 28,7 | 70,6 | 32,7 | 76,2 | 35,3 | 83,5 | 38,7 | 94,0 | 43,5 |
| 540 | 9 | 42,5 | 13,1 | 50,7 | 15,6 | 55,8 | 17,2 | 62,5 | 19,3 | 72,2 | 22,3 | 82,1 | 25,3 | 88,7 | 27,4 | 97,2 | 30,0 | 109,5 | 33,8 |
| 720 | 12 | 47,3 | 10,9 | 56,5 | 13,1 | 62,2 | 14,4 | 69,6 | 16,1 | 80,4 | 18,6 | 91,5 | 21,2 | 98,7 | 22,8 | 108,3 | 25,1 | 121,9 | 28,2 |
| 1080 | 18 | 55,1 | 8,5 | 65,7 | 10,1 | 72,4 | 11,2 | 81,0 | 12,5 | 93,6 | 14,4 | 106,5 | 16,4 | 114,9 | 17,7 | 126,0 | 19,4 | 141,9 | 21,9 |
| 1440 | 24 | 61,3 | 7,1 | 73,2 | 8,5 | 80,6 | 9,3 | 90,2 | 10,4 | 104,2 | 12,1 | 118,6 | 13,7 | 128,0 | 14,8 | 140,3 | 16,2 | 158,0 | 18,3 |
| 2880 | 48 | 79,4 | 4,6 | 94,8 | 5,5 | 104,4 | 6,0 | 116,9 | 6,8 | 135,0 | 7,8 | 153,6 | 8,9 | 165,8 | 9,6 | 181,8 | 10,5 | 204,7 | 11,8 |
| 4320 | 72 | 92,4 | 3,6 | 110,4 | 4,3 | 121,5 | 4,7 | 136,0 | 5,2 | 157,1 | 6,1 | 178,7 | 6,9 | 192,9 | 7,4 | 211,5 | 8,2 | 238,1 | 9,2 |
| 5760 | 96 | 102,9 | 3,0 | 122,9 | 3,6 | 135,2 | 3,9 | 151,5 | 4,4 | 174,9 | 5,1 | 199,0 | 5,8 | 214,8 | 6,2 | 235,5 | 6,8 | 265,2 | 7,7 |
| 7200 | 120 | 111,9 | 2,6 | 133,6 | 3,1 | 147,0 | 3,4 | 164,6 | 3,8 | 190,1 | 4,4 | 216,3 | 5,0 | 233,5 | 5,4 | 256,0 | 5,9 | 288,2 | 6,7 |
| 8640 | 144 | 119,7 | 2,3 | 143,0 | 2,8 | 157,3 | 3,0 | 176,2 | 3,4 | 203,5 | 3,9 | 231,5 | 4,5 | 249,9 | 4,8 | 274,0 | 5,3 | 308,5 | 6,0 |
| 10080 | 168 | 126,8 | 2,1 | 151,4 | 2,5 | 166,7 | 2,8 | 186,7 | 3,1 | 215,5 | 3,6 | 245,3 | 4,1 | 264,7 | 4,4 | 290,2 | 4,8 | 326,8 | 5,4 |

Starkniederschlagshöhen und -spenden gemäß KOSTRA-DWD-2020

Rasterfeld 215142

(Zeile 215, Spalte 142)

Örtliche Unsicherheiten in Abhängigkeit von Wiederkehrzeit T und Dauerstufe D

| Dauerstufe D | | Wiederkehrzeit T | | | | | | | | |
|--------------|-----|------------------|-----|-----|-----|------|------|------|------|-------|
| | | 1 a | 2 a | 3 a | 5 a | 10 a | 20 a | 30 a | 50 a | 100 a |
| min | Std | ± % | ± % | ± % | ± % | ± % | ± % | ± % | ± % | ± % |
| 5 | | 26 | 27 | 27 | 28 | 28 | 29 | 29 | 29 | 30 |
| 10 | | 29 | 29 | 30 | 30 | 31 | 32 | 32 | 32 | 33 |
| 15 | | 29 | 30 | 31 | 31 | 32 | 32 | 33 | 33 | 33 |
| 20 | | 29 | 30 | 30 | 31 | 32 | 32 | 33 | 33 | 33 |
| 30 | | 28 | 29 | 30 | 30 | 31 | 31 | 32 | 32 | 33 |
| 45 | | 27 | 28 | 28 | 29 | 30 | 30 | 30 | 31 | 31 |
| 60 | 1 | 25 | 26 | 27 | 28 | 28 | 29 | 29 | 29 | 30 |
| 90 | 1,5 | 24 | 25 | 25 | 26 | 26 | 27 | 27 | 27 | 28 |
| 120 | 2 | 22 | 23 | 24 | 24 | 25 | 25 | 25 | 26 | 26 |
| 180 | 3 | 20 | 21 | 22 | 22 | 23 | 23 | 23 | 24 | 24 |
| 240 | 4 | 19 | 20 | 20 | 21 | 21 | 22 | 22 | 22 | 23 |
| 360 | 6 | 18 | 19 | 19 | 19 | 20 | 20 | 20 | 21 | 21 |
| 540 | 9 | 18 | 18 | 18 | 18 | 19 | 19 | 19 | 20 | 20 |
| 720 | 12 | 18 | 18 | 18 | 18 | 19 | 19 | 19 | 19 | 19 |
| 1080 | 18 | 19 | 19 | 19 | 19 | 19 | 19 | 19 | 19 | 19 |
| 1440 | 24 | 20 | 20 | 19 | 19 | 19 | 19 | 20 | 20 | 20 |
| 2880 | 48 | 24 | 23 | 23 | 23 | 22 | 22 | 22 | 22 | 22 |
| 4320 | 72 | 27 | 26 | 26 | 25 | 25 | 25 | 25 | 25 | 25 |
| 5760 | 96 | 29 | 28 | 28 | 27 | 27 | 27 | 27 | 27 | 26 |
| 7200 | 120 | 31 | 30 | 29 | 29 | 29 | 28 | 28 | 28 | 28 |
| 8640 | 144 | 32 | 31 | 31 | 31 | 30 | 30 | 30 | 30 | 29 |
| 10080 | 168 | 34 | 33 | 32 | 32 | 31 | 31 | 31 | 31 | 31 |

Parameter für abweichende T und D

Lokationsparameter ξ (Xi)

18,73445403

Skalenparameter α (Alpha)

5,05210897

Formparameter κ (Kappa)

-0,1

1. Koutsoyiannis-Parameter θ (Theta)

0,01651559

2. Koutsoyiannis-Parameter η (Eta)

0,6266367

Parameter für dauerstufenübergreifende Extremwertschätzung nach KOUTSOYIANNIS et al. 1998.

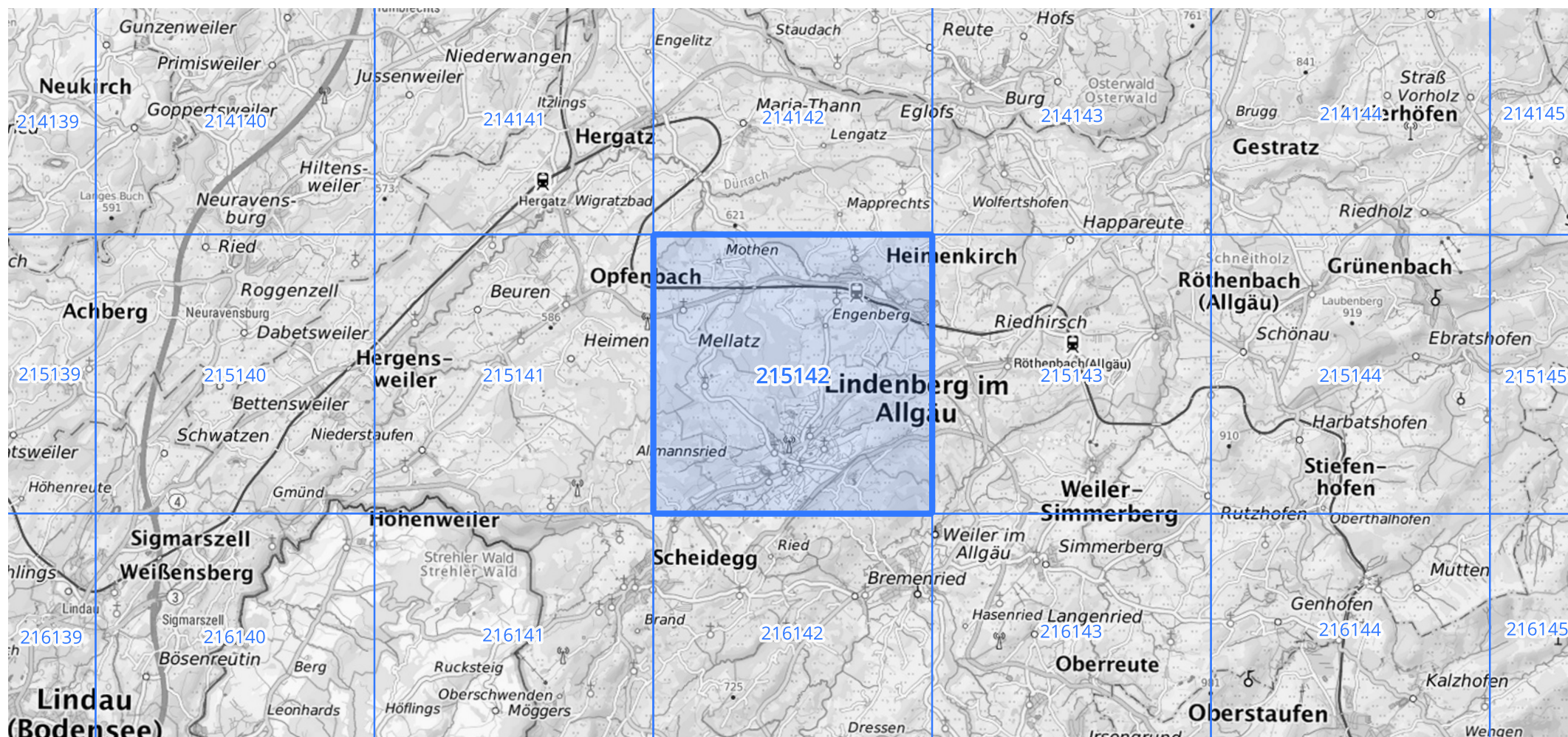
Siehe auch Anwendungshilfe zu KOSTRA-DWD-2020 des Deutschen Wetterdienstes.

Starkniederschlagshöhen und -spenden gemäß KOSTRA-DWD-2020

Rasterfeld 215142

(Zeile 215, Spalte 142)

Übersichtskarte des Rasterfeldes 215142, M 1 : 100 000



Quelle Rasterdaten: KOSTRA-DWD-2020 des Deutschen Wetterdienstes, Stand 12/2022.

Seite 3 von 3

Kartendarstellung: © Bundesamt für Kartographie und Geodäsie (2023), Datenquellen: https://sgx.geodatenzentrum.de/web_public/gdz/datenquellen/Datenquellen_TopPlusOpen.html

Für die Richtigkeit und Aktualität der Angaben wird keine Gewähr übernommen. Erstellt 01/2023.